

LINMA1510 - Automatique linéaire

Laboratoire 1 - Contrôle du niveau d'eau dans un réservoir

GROUPE 62

Antoine Paris Philippe Verbist

30 avril 2016

TO DO

- refaire des mesures pour h_3 ,
- et pour tous les paramètres possibles de K_P, K_I (5 graphes au total),
- compléter la figure 4.1
- une fois les calculs refaits, continuer la section "spécifications" (calculer K_P, K_I)
- faire la même chose pour la simplification pôle-zéro

1 Modèle et données

Le modèle repose sur les équations suivantes :

- équation de continuité :

$$\frac{dh_3}{dt} = \frac{1}{S_R} q_{P3} - \frac{1}{S_R} (q_{F30} + q_{S30}) \quad (1.1)$$

- loi de Toricelli :

$$q_{F30} = S_{F30} \sqrt{2gh_3} \quad (1.2)$$

$$q_{S30} = S_{S30} \sqrt{2gh_3}. \quad (1.3)$$

En outre, nous avons les données suivantes

$$S_R = 43 \text{ cm}^2 \quad (1.4)$$

$$g = 981 \text{ cm/s}^2 \quad (1.5)$$

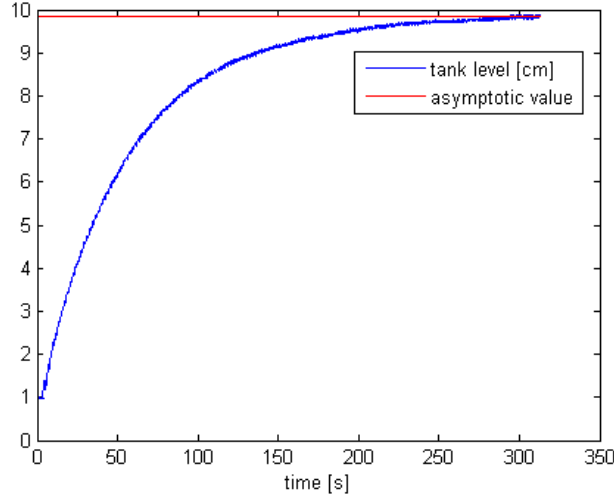


FIGURE 2.1 – Point d'équilibre du système en boucle ouverte, avec $u_0 = 30 \text{ mL s}^{-1}$

2 Expliquer les valeurs choisies pour \bar{q}_{P3} et \bar{h}_3 . Expliquer le calcul de la surface S_{S30}

La valeur de q_{P3} a été imposée lors de l'expérience à u_0 . La hauteur h_3 correspond à la valeur d'équilibre lorsque la valve frontale S_{F30} est fermée et la valve S_{S30} ouverte (voir la figure 2.1). Leur valeur chiffrée vaut

$$q_{P3} = 30 \text{ [mL/s]} \quad (2.1)$$

$$h_3 = 9.84 \text{ [cm]}. \quad (2.2)$$

Nous avons travaillé dans les mêmes conditions expérimentales pour calculer S_{S30} ($q_{F30} = 0$ et $\frac{dh_3}{dt} = 0$). Ainsi, à l'équilibre, en reprenant les équations 1.1 et 1.3, nous avons

$$\frac{dh_3}{dt} = \frac{1}{S_R} \bar{q}_{P3} - \frac{1}{S_R} (q_{F30} + q_{S30}) \quad (2.3)$$

$$\Leftrightarrow \bar{q}_{P3} = S_{S30} \sqrt{2g\bar{h}_3} \quad (2.4)$$

$$\Leftrightarrow S_{S30} = \frac{\bar{q}_{P3}}{\sqrt{2g\bar{h}_3}} = 0.2159 \text{ cm}^2 \quad (2.5)$$

3 Détailler le calcul du modèle linéarisé et le calcul des fonctions de transfert $G(s)$ and $H(s)$

3.1 Calcul du modèle linéarisé

Soit le système initial

$$x = h_3 \quad (3.1)$$

$$u = q_{P3} \quad (3.2)$$

$$v = S_{F30} \quad (3.3)$$

$$(3.4)$$

Régit par les équations

$$\frac{dx}{dt} = f(x, u, v) = \frac{1}{S_R}u - \frac{1}{S_R}(v\sqrt{2gx} + S_{S30}\sqrt{2gx}) \quad (3.5)$$

$$y = h(x, u, v) = x \quad (3.6)$$

Pour linéariser ce système, nous procédons au changement de variables

$$\chi = x - \bar{x} = x - 9.84 \quad (3.7)$$

$$\rho = u - \bar{u} = u - 30 \quad (3.8)$$

$$\nu = v - \bar{v} = v \quad (3.9)$$

$$\phi = y - h(\bar{x}) = y - 30 \quad (3.10)$$

$$(3.11)$$

et nous tenons de réécrire le système sous la forme

$$\begin{cases} \frac{d\chi}{dt} = A\chi + B\rho \\ \phi = C\chi + D\rho \end{cases} \quad (3.12)$$

avec

$$A = \frac{\partial f(x, u, v)}{\partial x} \Big|_{(\bar{x}, \bar{u}, \bar{v})} = -\frac{1}{S_R} \left(v \frac{g}{\sqrt{2gx}} + S_{S30} \frac{g}{\sqrt{2gx}} \right) \Big|_{(\bar{x}, \bar{u}, \bar{v})} \quad (3.13)$$

$$= -\frac{1}{S_R} S_{S30} \frac{g}{\sqrt{2g\bar{x}}} = -0.0355 \quad (3.14)$$

$$B = \begin{bmatrix} \frac{\partial f}{\partial u} \Big|_{\bar{x}} \\ \frac{\partial f}{\partial v} \Big|_{\bar{x}} \end{bmatrix} = \begin{bmatrix} \frac{1}{S_R} = 0.0233 \quad \square \\ \frac{\sqrt{2g\bar{x}}}{S_R} = -3.23 \quad \square \end{bmatrix} \quad (3.15)$$

$$C = \frac{\partial h}{\partial x} \Big|_{\bar{x}} = 1 \quad (3.16)$$

$$D = \begin{bmatrix} \frac{\partial h}{\partial u} \Big|_{\bar{x}} \\ \frac{\partial h}{\partial v} \Big|_{\bar{x}} \end{bmatrix} = \begin{bmatrix} 0 \\ 0 \end{bmatrix} \quad (3.17)$$

3.2 Calcul des fonctions de transfert

$$G(s) = C(sI - A)^{-1}B_u + D = \frac{B_u}{s - A} = \frac{0.02326}{s + 0.03545} \quad (3.18)$$

$$H(s) = C(sI - A)^{-1}B_v + D = \frac{B_v}{s - A} = \frac{-3.231}{s + 0.03545} \quad (3.19)$$

$$(3.20)$$

Remarquons que l'on peut calculer la constante de temps du système (puisque $G(s) = \frac{B/A}{1-s/A}$)

$$t_{ROL} = -\frac{1}{A} \approx 28.2 \text{ s} \quad (3.21)$$

4 Fonctions de transfert en boucle fermée

Nous considérons maintenant un contrôleur PI tel que représenté à la figure 4.1.

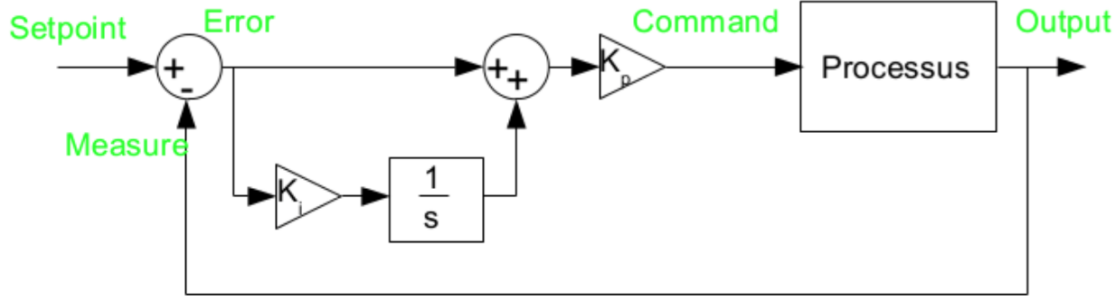


FIGURE 4.1 – Diagramme de bloc du système contrôlé par un contrôleur PI

On trouve

$$T_r(s) \triangleq \frac{y}{r} \Big|_{v=0} \quad (4.1)$$

$$y = K_P G \left(e + \frac{e K_I}{s} \right) \quad (4.2)$$

$$= K_P G \left(r - y + \frac{(r - y) K_I}{s} \right) \quad (4.3)$$

$$y(s - A) = K_P B_u \left(r \left(1 + \frac{K_I}{s} \right) - y \left(1 + \frac{K_I}{s} \right) \right) \quad (4.4)$$

$$y(s - A + B_u K_P + \frac{B_u K_P K_I}{s}) = B_u K_P r \left(1 + \frac{K_I}{s} \right) \quad (4.5)$$

$$y(s^2 + (B_u K_P - A)s + B_u K_P K_I) = B_u K_P r (s + K_I) \quad (4.6)$$

$$\frac{y}{r} = \frac{B_u K_P (s + K_I)}{s^2 + (B_u K_P - A)s + B_u K_P K_I} = T_r(s) \quad (4.7)$$

De même,

$$T_v(s) \triangleq \frac{y}{v} \Big|_{r=0} \quad (4.8)$$

$$y = H v + G K_P \left(e + \frac{e K_I}{s} \right) \quad (4.9)$$

$$= H v + G K_P \left(-y - \frac{-y K_I}{s} \right) \quad (4.10)$$

$$y(s - A) = B_v v - y B_u K_P \left(1 + \frac{K_I}{s} \right) \quad (4.11)$$

$$y(s^2 + (B_u K_P - A)s + B_u K_P K_I) = B_v v s \quad (4.12)$$

$$\frac{y}{v} = \frac{B_v s}{s^2 + (B_u K_P - A)s + B_u K_P K_I} = T_v(s) \quad (4.13)$$

Une autre manière (plus facile) pour arriver à ces résultats est de considérer le contrôleur

$$C(s) = \left(1 + \frac{K_I}{s} \right) K_P = \frac{1}{s} (s + K_I) K_P \quad (4.14)$$

et de calculer ensuite

$$T_r(s) = \frac{C(s)G(s)}{1 + C(s)G(s)} = \frac{(s + K_I) K_P B_u}{s(s - A) + (s + K_I) K_P B_u} \quad (4.15)$$

$$T_v(s) = \frac{H(s)}{1 + C(s)G(s)} = \frac{B_v s}{s(s - A) + (s + K_I) K_P B_u} \quad (4.16)$$

5 Analyse des performances de différents contrôleurs avec une perturbation

6 Calcul des paramètres K_P, K_I pour satisfaire certaines spécifications

6.1 Sans simplification

Les spécifications sont :

— pas d'overshoot

— un temps de réponse trois fois plus petit que le système naturel (non contrôlé)

Reprenons le dénominateur de la fonction de transfert $G_{CL}(s)$:

$$D(s) = s^2 + (B_u K_P - A)s + B_u K_P K_I \quad (6.1)$$

que nous pouvons reprocher de la forme canonique suivante pour un système du deuxième ordre

$$D_c(s) = s^2 + 2\zeta\omega_n s + \omega_n^2. \quad (6.2)$$

Par identification, on obtient

$$\omega_n = \sqrt{B_u K_P K_I} \quad (6.3)$$

$$\zeta = \frac{B_u K_P - A}{2\sqrt{B_u K_P K_I}} \quad (6.4)$$

Les spécifications nous imposent :

$$\zeta \geq 1 \quad (6.5)$$

$$t_R = \frac{4}{\omega_n(\zeta - \sqrt{\zeta^2 - 1})} = \quad (6.6)$$

6.2 Avec simplification pôle-zéro

En posant

$$K_I = -A \quad (6.7)$$

on obtient une simplification pôle-zéro, et la fonction de transfert devient

$$T_r(s) = \frac{K_P B_u}{s + K_P B_u} = \frac{1}{1 + \frac{s}{K_P B_u}}. \quad (6.8)$$

S'agissant d'une fonction du premier ordre, il n'y a pas de dépassement, et le temps de réponse

$$t_{RCL} \approx 4 \cdot \tau = \frac{4}{K_P B_u} = \quad (6.9)$$

7 Non-linéarités du système contrôlé

La non-linéarité principale vient du fait que le système d'équations initiales n'est pas linéaire, et qu'il a dû être linéarisé autour de son point d'équilibre. Ainsi, lorsque l'on ne se trouve pas proche de ce point d'équilibre, les équations que nous avons ne sont pas correctes.